■16 局部低温冷却による溶接継手の残留応力軽減に関する研究

大阪産業大学 工学部 渡辺 正紀 愛媛大学 工学部 村上 善一 の西田 税

1、緒言

本研究は、高い引張残留応力を有したオーステナイト系ステンレス錮溶接継手の溶接部を特殊なノズルを用い局部的に極低温まで、冷却させることによって、溶接部を塑性変形なせ残留応力を軽減させる方法を検討した。

2. 実験方法

供試材料は、板厚10mmのオーステナイト系ステンレス鋼(SUS304)である。 Table 1 は、供試材料の化学組成と機械的性質を示す。

Fig. 1 は、実験装置の概略図を示す。 図に示すように走行車に溶接トーチと液体窒素冷却用ノズルを任意相隔に固定することによって、溶接直後および溶接後溶接部の温度が所定温度に低下したとき、溶接部と急激に冷却できるようにした。

液体窒素による冷却は、冷却用ノズル 径之mm、ノズル高を10mmよよび液体 窒素噴出圧力4kg/cm2 - 定の条件で行びった。 また、冷却用液体窒素による風 圧および液体窒素の流入が、溶接に悪影

響を及ぼすのを防止するため、溶接トーチと冷却用ノズルの用に防風壁を設けた。

ひずみゲージによる残留応力の測定は、溶接のままの試験片および溶接後、溶接部の温度が700°C, 200°C, 空温に降下したとき溶接部を局部冷却を施した試験片について行なった。

3、実験結果

Fig.2は、溶接のままの試験片によける溶接線な向の残留応力(CL)と、構な向の残留応力(CF)の分布を示す。

JLは、溶着金属部で8~15 kg/mm², 熱影響部で20~27 kg/mm²の引張残留応力を示し、母材部では6~12 /mm²の圧縮残留応力を示した。 一方、JTは、溶着金属部で圧縮残留応力を示し、熱影響では10~17 kg/mm²の引張残留応力であった。



Chemical composition (wt.%)							Machanical properties			
c	Şi	Mn	Р	s	Cr	Ni	Tensile strength (kg/mm²)	Proof stress (kg/mm²)	Elongation (%) (G.L.; 35mm)	Reduction of groo
0.06	0.48	1.49	0.019	0.013	18.43	8.43	67.3	28.5	58.4	52.9

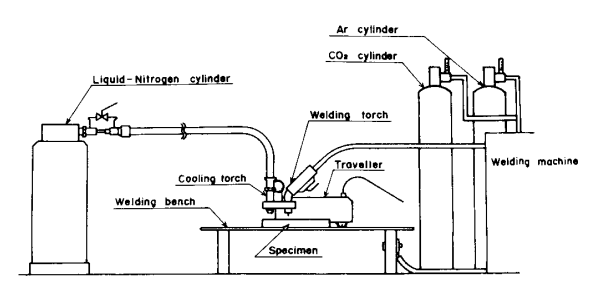
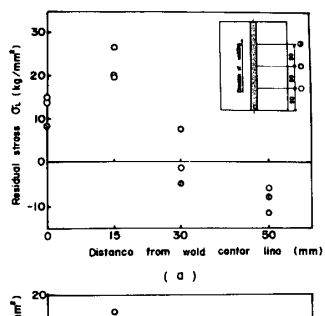


Fig. 1 Schematic view of experimental equipment



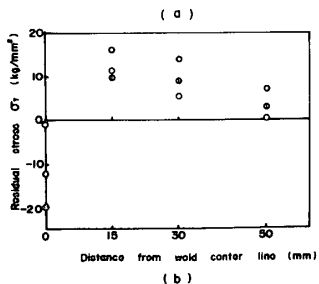
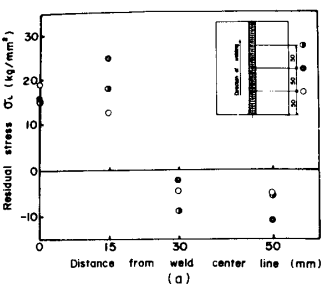


Fig. 2. Residual stress distribution in welded join

溶接学会全国大会講演概要 第33集 ('83-10)

Fig. 4 は、溶妆後、溶妆部が 200°C に降下したとき溶妆部 と局部を即した場合と示す。 のしは、溶着金属部ではる へ9 kg/mm² の引張残留応及を示し、溶妆のままのものと



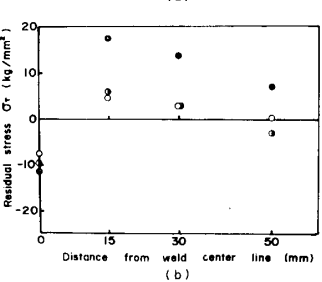


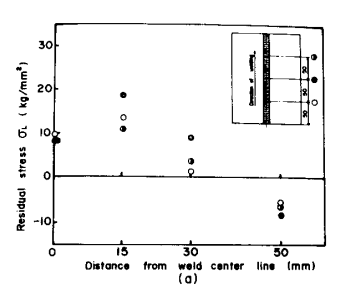
Fig. 3. Residual stress distribution in welded join:
(Weld metal cooled with liquid-nitrogen after welding)

比較して、4 Kg/mm²程度軽減しているようであり、また、熱影響部 K おいても 1/~17 Kg/mm²を示し、8 Kg/mm²を度軽減した。 しかし、サードついては溶接のままのものと比べ、ほとんど変化はみられなかった。

Fig. 5は、溶接試験やが室温まで冷却したのち、溶接部を局部冷却した場合を示す。

「CLは、溶着金属部よるで熱影響部とも10K8/mm² 以下の引張残留応力を示し、溶接のままのものと比較して、しくに熱影響部では15K8/mm² 程度軽減し、局部冷却の効果が著しく表的れた。 Fig. 6は、この条件下での液体室素による冷却曲線を示す。 なお、測定は板厚表面(液体室素を噴出せせた面)より摩板方向に3mm入った位置で行ない、冷却用ノズルの秒動速度は、溶接速度と同一の8.7 cm/min とした。

溶着金属がは、ノズル通過後、約45秒で最低到達温度 -/46℃となり、母材との温度差は約1/0℃であった。また、その時点での熱影響部の温度は約-/00℃であり、母材との温度差は約20°Cであった。したがって、高い引張発留応力を有する溶着金属部や熱影響部は、このような温度差による引張応力が重置を収、冷却中に塑性変形すると思いいる。そして、その後、室温に戻ると塑性変形したひずみ量に相当した応力が製減さいたことになるものと考えらいる。



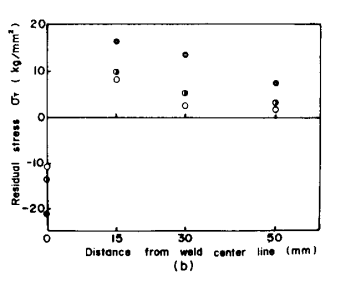
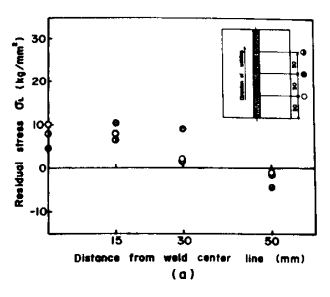


Fig. 4 Residual stress distribution in welded joint (Weld metal cooled with figuid nitrogen after specimen was cooled to 200°C)



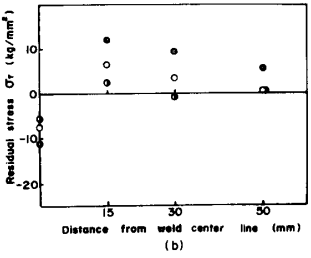
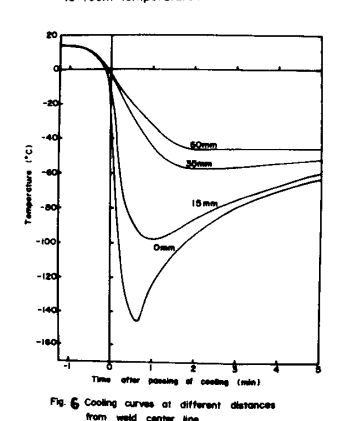


Fig.5 Residual stress distribution in welded joint (Weld metal cooled with liquid-nitrogen after specimen state cooled to coop temperature)



309